

ЭЛЕКТРИЧЕСТВО

*Да здравствует 1 Мая — День международной солидарности
трудящихся в борьбе против империализма,
за мир, демократию и социализм!*

[Из Призывов ЦК КПСС к 1 Мая 1977 года]

1977



ИЗДАТЕЛЬСТВО · ЭНЕРГИЯ ·

5

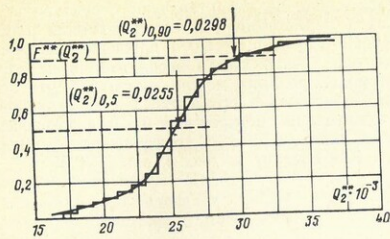


Рис. 4. Результаты статистического моделирования функции распределения $F^*(Q_2^{**})$ в интервале времени планового ремонта выключателя B_2 .

определяющим надежность схемы, является междушинный выключатель B_1 .

Обеспечиваемая безаварийность энергосистемы определяется условиями эксплуатации, режимом работы, надежностью оборудования. В целом ряде случаев наибольшее влияние оказывают структурные изменения. И если количественная оценка безаварийности рассчитана по всевозможным плановым и аварийным состояниям, то она, очевидно, не всегда может быть использована для характеристики системы в интервале с фиксированными состояниями плановых ремонтов.

Рассмотрим структурную надежность схемы рис. 1 на текущий год эксплуатации. Планируется отключение T_2 и B_2 на капитальный ремонт с относительной длительностью $t^*_{T_2}=0,033$ и $t^*_{B_2}=-0,011$. При ремонте B_2 создается нефиксированная схема: L_1 подключается к W_1 через B_1 .

Для оценки обеспечиваемой безаварийности необходимо провести изменения массива относительной длительности состояний схемы. Массив описывается среднегодовыми значениями длительности простого в аварийном ремонте (как случайные события) и длительностью плановых ремонтов T_2 и B_2 . Результаты расчета показывают, что степень безаварийности подстанции почти не изменилась и составляет $(Q_2^{**})_{0,9}=0,0098$, а $(Q_3^{**})_{0,9}=0,0320$. Простота схемы позволяет объяснить эти результаты. В обоих примерах относительная длительность работы подстанции по нефиксированной схеме не превышает 5%. Отличие в том, что в первом примере она распределена по элементам схемы, а во втором — сосредоточена для B_2 . Данный пример представляет несомненный интерес в части контроля работоспособности основных логических связей алгоритма.

Результаты моделирования позволяют сделать выводы о влиянии длительности простого в ремонте на безаварийность работы. Чтобы оценить это



Таблица

Условный номер элемента	Тип элемента	Матрица индексов последовательности элементов схемы рис. 1 в состоянии планового ремонта B_2 (в условиях текущего контроля)		
		Без развития отказа	С развитием отказа	
			первая степень	вторая степень
1	L_1	0	2	2
2	L_2	0	2	2
3	T_1	0	2	0
4	T_2	0	0	2
5	B_1	2	2	2
6	W_1	2	2	2
7	W_2	0	0	0

влияние количественно, рассмотрим надежностивстречаться в распределительных устройствах подстанции в состоянии планового ремонта B_2 . Этаработка на напряжении 110 кВ и выше. Податливость опор представляется интерес также возможностью изолятов, деформацию количественной оценки риска возникновениями конструкций, к которым они крепятся, и появление аварии подстанции при работе по нефиксированной движению болтовых соединений. Расчеты электродинамической стойкости токопроводов в таких схемах, структурная ненадежность которых опорами чаще всего приходится в распределительных устройствах

При фиксированном состоянии системы (условия текущего контроля безаварийности), форма представления МИП упрощается. Для рассматриваемого примера МИП приведена в табл. 3.

Расчетная функция распределения $F^*(Q_2^{**})$, где $t_p^* = 1$ показана на рис. 4. Если иметь в виду, что $(Q_2^{**})_p^* \ll 1$, то вероятность обесточения потребителя в интервале $t^*_{B_2}$ будет равна $(Q_2^{**})_{0,9} = 0,33 \cdot 10^{-3}$ и почти в 30 раз меньше среднегодовой безаварийности.

Вывод. Приведенные результаты дают основание считать, что вычисляемые разработанным методом показатели обеспечиваемой безаварийной длительности состояний схемы. Массив описывается среднегодовыми значениями длительности простого в аварийном ремонте (как случайные события) и длительностью плановых ремонтов T_2 и B_2 . Результаты расчета показывают, что степень безаварийности подстанции почти не изменилась и составляет $(Q_2^{**})_{0,9}=0,0098$, а $(Q_3^{**})_{0,9}=0,0320$.

Простота схемы позволяет объяснить эти результаты. В обоих примерах относительная длительность работы подстанции по нефиксированной схеме не превышает 5%. Отличие в том, что в первом примере она распределена по элементам схемы, а во втором — сосредоточена для B_2 . Данный пример представляет несомненный интерес в части контроля работоспособности основных логических связей алгоритма.

Результаты моделирования позволяют сделать выводы о влиянии длительности простого в ремонте на безаварийность работы. Чтобы оценить это

СПИСОК ЛИТЕРАТУРЫ

1. Patton A. D. Assessment of the Security of Operation of Electric Power Systems Using Probability Methods. — IEE 1974, vol. 62, № 7.
2. Веникин В. А., Руденко Ю. Н., Соловьев С. А. Задачи исследования надежности электроэнергетических систем. «Изв. АН СССР. Энергетика и транспорт», 1973, № 5.
3. Рябинин И. А. Основы теории и расчета надежности судовых электроэнергетических систем. Л.: «Судостроение» 1971.
4. Шур Е. В. Алгоритмы структурно-логического анализа и количественная оценка надежности электроэнергетических систем. Автограф дис. на соиск. учен. степени канд. техн. наук. Минск, 1975. (Белорусский ПИ.)
5. Фархадзаде Э. М., Мурадалиева Э. М. Справительный. — «За технический прогресс», 1974, № 3.

[20]

Методика расчета электродинамической стойкости токопроводов напряжением 110 кВ и выше с учетом податливости опор

Канд. техн. наук КУДРЯВЦЕВ Е. П., ДОЛИН А. П.
Московский энергетический институт

где $a=2 \cdot 10^{-7}$ Н/А²; a — параметр, характеризующий расстояния между шинами, м; I_m — амплитуда периодической составляющей тока к. з.; A —

$$\begin{aligned} T_1 &= 1; T_2 = e^{-2t/T_a}; T_3 = e^{-t/T_a} \cos \omega t; \\ T_4 &= e^{-t/T_a} \sin \omega t; T_5 = \cos 2\omega t; T_6 = \sin 2\omega t. \end{aligned} \quad (3)$$

Здесь T_a — постоянная времени затухания апериодической составляющей тока к. з.; ω — угловая частота тока, рад/с.

Величины постоянных коэффициентов D_{jn} ($j=1, 2; n=1, 2, \dots, 6$) определяются взаимным расположением шин токопровода, ориентацией опор, видом к. з. и фазой включения ψ тока к. з. Для некоторых типов токопроводов эти постоянные определены [Л. 1 и 6].

Каждую из функций (3) можно записать в комплексной форме:

$$T_n(t) = b_n e^{(\beta_n + i\gamma_n)t} + d_n e^{(\beta_n - i\gamma_n)t}, \quad (4)$$

где b_n , d_n , β_n и γ_n — константы, выражающиеся через параметры функций (3). Таким образом, задача об оценке электродинамической стойкости токопровода при достаточно сложных нагрузках (2) может быть сведена к суммированию решений уравнений (1) с правыми частями вида (4) [Л. 7].

Полным решением дифференциального уравнения (1) с правой частью (4) будет сумма его частного решения $\bar{y}(x, t)$ и полного решения уравнения (1) без правой части $\bar{y}(x, t)$:

$$y(x, t) = \bar{y}(x, t) + \bar{\bar{y}}(x, t). \quad (5)$$

Будем разыскивать частное решение уравнения (1) с правой частью (4) в виде

$$\bar{y}(x, t) = \sum_{s=1}^2 \bar{Y}_s(x) e^{[\beta_s - (-1)^s \gamma_s] t}. \quad (6)$$

Индексы, указывающие на номер главной плоскости инерции и номер составляющей нагрузки (3), в формуле (6) и в дальнейшем изложении опущены. Подставляя (6) в (1), приходим к обыкновенным линейным дифференциальным уравнениям

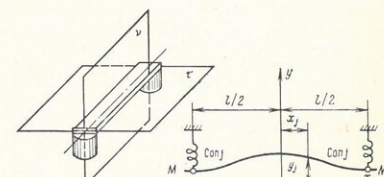


Рис. 1

$$q_j = \frac{a}{A} I_m^2 \sum_{n=1}^6 D_{jn} T_n(t), \quad (2)$$

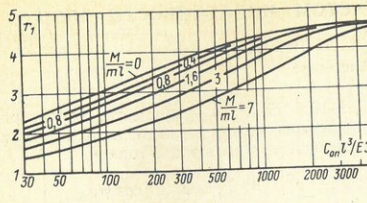


Рис. 2

ниям с постоянными коэффициентами относительной функцией \bar{Y}_s :

$$\frac{d^4\bar{Y}_s}{dx^4} + \frac{m}{EJ} [\beta - (-1)^s i f_k] \bar{Y}_s = U_s, \quad (7)$$

где U_s — постоянные. Частные решения уравнений (7) с правой частью также постоянные. Произвольные постоянные решений уравнений (7) без правой части могут быть определены из граничных условий: при $x=\pm l/2$

$$\frac{\partial \bar{y}}{\partial x} = 0; \quad (8a)$$

$$2EJ \frac{\partial^3 \bar{y}}{\partial x^3} - c_{op} \bar{y} - M \frac{\partial^2 \bar{y}}{\partial t^2} = 0, \quad (8b)$$

где l — длина пролета шины, м; c_{op} — жесткость опор, Н/м; M — приведенная масса опоры, кг. Обычно оси изоляторов лежат в одной из главных плоскостей инерции шин. На рис. 1 такая плоскостью является плоскость v . При колебаниях в этой плоскости приведенная масса M может принимать равной массе опоры. Если колебания происходят в плоскости t , приведенную массу можно определить, например, по формуле

$$M = \frac{c_{op}}{\Omega_{op}^2}, \quad (9)$$

где Ω_{op} — угловая частота собственных колебаний опоры, рад/с.

Условие (8a) требует отсутствия поворотов опорных сечений шин, (8b) является условием равновесия узла крепления шины к изолятору. В этом условии слагаемое $2EJ \partial^3 \bar{y} / \partial x^3$ представляет собой сумму поперечных сил в шине слева и справа от опорного сечения, слагаемое $c_{op} \bar{y}$ является силой взаимодействия шины и изолятора, пропорциональное смещению головки изолятора, слагаемое $M \partial^2 \bar{y} / \partial t^2$ учитывает инерцию массы опоры.

Полное решение $\bar{y}(x, t)$ однородного уравнения, удовлетворяющее, как и решение (6), граничным условиям (8), получим в виде ряда по собственным функциям [Л. 5]:

$$\bar{y}(x, t) = \sum_{k=1, 3, 5, \dots}^{\infty} X_k(x) (L_k \sin \Omega_k t + N_k \cos \Omega_k t). \quad (10)$$

Можно показать, что собственные функции X_k равны:

$$X_k = \frac{\operatorname{ch} \frac{r_k x}{l}}{\sin \frac{r_k}{2}} + \frac{\cos \frac{r_k x}{l}}{\sin \frac{r_k}{2}}, \quad (11)$$

где r_k — параметры собственных частот колебаний упругой системы «шина — изоляторы», определяемые из трансцендентного уравнения

$$\left(\frac{c_{op} l^3}{EJ r_k} - \frac{M}{m l} r_k \right) \left(\operatorname{ctg} \frac{r_k}{2} + \operatorname{ctg} \frac{r_k}{2} \right) - 4 = 0. \quad (12)$$

Корни уравнения (12) вычислялись на ЦВМ Польша в результате расчетов кривые парметра r_1 приведены на рис. 2.

Угловые частоты собственных колебаний Ω ради/с, равны

$$\Omega_k = 2\pi f_k = \frac{r_k}{l^2} \sqrt{\frac{EI}{m}}.$$

Здесь f_k — собственные частоты колебаний шины на упругих опорах, Гц.

Коэффициенты L_k и N_k определяются из начальных условий:

$$y|_{t=0} = 0; \quad \frac{\partial y}{\partial t}|_{t=0} = 0. \quad (13)$$

При практических расчетах оказывается достаточно потребовать точного выполнения начальных условий (14) лишь в некоторых сечениях шины. Так, если число таких сечений равно p , то для определения L_k и N_k условия (14) дают систему из $2p$ линейных алгебраических уравнений.

Приведенные выше формулы позволяют определить прогибы шин и изоляторов от действия единичной нагрузки при расчетах варьировались в следующих отдельных составляющих электродинамической новодов при расчетах варьировались в следующих грузки, так и от действия нагрузки (2) в целомоделях: $0 \leq M/ml \leq 7$, $25 \leq c_{op} l^3/EJ \leq 50000$, $0.05 \leq \eta \leq 0.2$. Взаимное расположение и ориентация шин могут быть произвольными. Расчет пригоден для широких пролетов шин. Рассматривались двух- и трехфазные короткие замыкания. При вычислении удерживалось шесть класса токопроводов.

Нагрузки на изоляторы в ньютонах и наибольших изгибающих напряжениях в сечениях шин в паскалях можно найти по формулам:

$$R(t) = c_{op} l (I/2, t); \quad \sigma(x, t) = \frac{EI}{W} \frac{\partial^2 y(x, t)}{\partial x^2}, \quad (14)$$

где W — момент сопротивления поперечного сечения, м³. Решения (15) с учетом констант D_n могут быть приведены к виду

$$R = \frac{al}{a} I^2 R_n(t); \quad \sigma = \frac{a l^2}{12 a W} I^2 \sigma_n(x, t), \quad (15)$$

где R и σ — относительные нагрузки на изоляторы и относительные напряжения в материале шины.

Вернемся к случаю загружения шины электродинамической нагрузкой (2). Нагрузку, действующую на изолятор в главной плоскости инерции с номером j при этом сложном нагружении, обозначим через $R_{jz}(t)$, максимальное напряжение в материале шины назовем $\sigma_z(x, t)$. Относительную силу, действующую на изолятор, когда ли

в одной главной плоскости инерции j действует только одна из составляющих электродинамической нагрузки (2) с номером n , обозначим через η_n . Для относительных напряжений при этом нагружении используем обозначение σ_{jn} .

При известных R_{jn} и σ_{jn} суммарные нагрузки изолятора R_{jz} и напряжения σ_z можно определять

формулам:

$$r_{jz}(t) = \frac{al}{a} I^2 R_{jz}(t); \quad \sigma_z(x, t) = \frac{al^2}{12 a W} I^2 \sigma_{jn}(x, t), \quad (17)$$

где относительные нагрузки R_{jz} равны:

$$R_{jz} = \sum_{n=1}^6 D_{jn} R_{jn}(t), \quad (18)$$

относительные напряжения σ_z в материале шиндельевого сечения, которые находят применение в напряжением 110 кВ и выше, определяются следующим образом:

$$\sigma_z(x, t) = \sqrt{\sum_{j=1}^2 \left[\sum_{n=1}^6 D_{jn} \sigma_{jn}(x, t) \right]^2}. \quad (19)$$

Особо важны максимальные по модулю значения нагрузок R_{jz} и σ_z . Как и в (1) будем называть их динамическими коэффициентами

$$\max |R_{jz}(t)| = \eta_{jz}; \quad \max |\sigma_z(x, t)| = \eta_z.$$

По изложенной методике на ЦВМ Минск-32 вычислялись относительные нагрузки на изоляторы и относительные напряжения в различных поперечных сечениях параллельных шин, расположенных из 2p линейных алгебраических уравнений. Приведенные выше формулы позволяют определить прогибы шин и изоляторов от действия единичной нагрузки при расчетах варьировались в следующих отдельных составляющих электродинамической новодов при расчетах варьировались в следующих грузки, так и от действия нагрузки (2) в целомоделях: $0 \leq M/ml \leq 7$, $25 \leq c_{op} l^3/EJ \leq 50000$, $0.05 \leq \eta \leq 0.2$. Взаимное расположение и ориентация шин могут быть произвольными. Расчет пригоден для широких пролетов шин. Рассматривались двух- и трехфазные короткие замыкания. При вычислении удерживалось шесть классов токопроводов.

На рис. 3 в качестве примера приведены полученные из решения уравнения (1) относительные нагрузки на изолятор $R_n(t)$ ($n=1, 2, \dots, 6$) при $ml=10$; $c_{op} l^3/EJ=1500$, $T_a=0.05$ и $f_1=65$ Гц. Я принятых здесь значений параметров графики

на рис. 3 могут рассматриваться как расчетные. С их помощью можно извлечь из известных константах D_n можно найти нагрузки на опоры для токопроводов различной физики. Нижняя кривая на рис. 3 показывает нагрузки на изоляторы при двухфазном коротком замыкании. Отличные в этом случае от

параметры нагрузки принимались согласно (1) $D_1=0.5$; $D_2=10$; $D_3=-20$; $D_5=0.5$. Эти параметры нагрузки (2) соответствуют включению $\phi=0.5\pi$, при котором электродинамическая нагрузка достигает максимума (индекс j нагрузки на изоляторы при двухфазном коротком замыкании). Отличные в этом случае от

параметры нагрузки принимались согласно (1) $D_1=0.5$; $D_2=10$; $D_3=-20$; $D_5=0.5$. Эти параметры нагрузки (2) соответствуют включению $\phi=0.5\pi$, при котором электродинамическая нагрузка достигает максимума (индекс j нагрузки на изоляторы при двухфазном коротком замыкании).

Варьируя параметры M/ml , $c_{op} l^3/EJ$, а также ϕ , можно изучать влияние на максимум нагрузки на изолятор и напряжения в шинах.

На рис. 4 для случая, когда $M/ml=0$; $c_{op} l^3/EJ=0$; $T_a=0.05$ с $\phi=0.5\pi$ приведены зависимости динамических коэффициентов нагрузки на изолятор и напряжений в материале шины при фазном коротком замыкании от первой соб-

ственной частоты колебаний системы «шина — изоляторы».

Вычисления показали, что в широком диапазоне значений параметров расчет шины, как балки с распределенной массой, близок к расчету шины на основе более простой расчетной модели с одной степенью свободы.

Рассмотрим упругую систему с одной степенью свободы, движение которой в одной из главных плоскостей инерции описывается уравнением

$$m_{np} \frac{d^2 y_{np}}{dt^2} + c_{np} y_{np} = F_{np}, \quad (20)$$

где m_{np} , y_{np} , c_{np} и F_{np} — соответственно приведенные масса, прогиб, жесткость и электродинамическая сила. Решения уравнений (1) и (20) оказываются близкими, если приведенные параметры расчетной схемы с одной степенью свободы определяются из следующих условий:

$$F_{np} = ql; \quad (21a)$$

$$\frac{1}{c_{np}} = \frac{1}{c_{op}} + \frac{1}{c_{op, sh}}; \quad (21b)$$

$$f_{np} = f_1, \quad (21c)$$

где $c_{op, sh}=384 EJ/l^3$ — приведенная жесткость шины, Н/м; f_1 — приведенная частота системы, Гц. Условие (21b) требует равенства прогибов шины по середине пролета и смещения y_{np} расчетной схемы

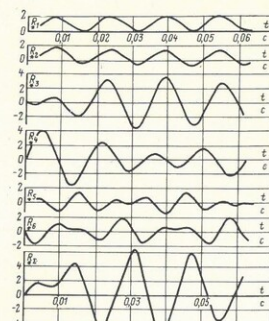


Рис. 3

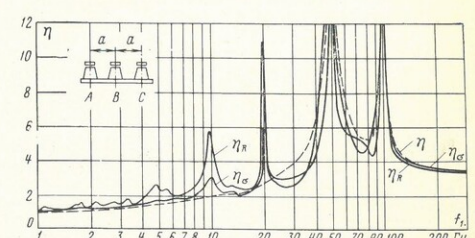


Рис. 4

при воздействии одинаковых по величине статических нагрузок. Условие (21в) требует равенства первой собственной частоты колебаний токопровода f_1 , и собственной частоты $f_{\text{пр}}$ расчетной схемы. Эти два условия однозначно фиксируют величину приведенной массы, так как

$$m_{\text{пр}} = c_{\text{пр}} / (2\pi f_{\text{пр}})^2.$$

Общее решение уравнения (20) содержитя, например, в [Л. 5]. Нагрузки на изоляторы и напряжения в опорных сечениях шин при использовании расчетной схемы с одной степенью свободы определяются по формулам:

$$\left. \begin{aligned} R(t) &= c_{\text{оп}} y_{\text{оп}}(t); \\ \sigma(t) &= \frac{M}{W} = \frac{c_{\text{пр}, \text{ш}} l}{12W} y_{\text{ш}}(t), \end{aligned} \right\} \quad (22)$$

где M — изгибающий момент.

Максимальные нагрузки R_{max} и напряжения σ_{max} можно представить в виде

$$R_{\text{max}} = \frac{\alpha l}{a} I_m^2 \eta; \quad \sigma_{\text{max}} = \frac{\alpha l^2}{12aW} I_m^2 \eta, \quad (23)$$

где η — динамический коэффициент.

Для вполне определенной электродинамической нагрузки динамический коэффициент η является функцией одной только собственной частоты расчетной схемы f_1 . Для выбранного типа токопровода и фиксированного вида к. з. одним и тем же графиком оказывается возможным пользоваться при любых жесткостях опор и массах изоляторов. Это придает расчетам по формуле (23) значительную универсальность. Необходимые для расчетов значения частот f_1 можно найти по формуле (13).

Одно из решений уравнения (20) при начальных условиях (14) и приведенных параметрах, выбранных согласно (21), сопоставлено с более точным решением уравнения (1) на рис. 4. Результаты сопоставления можно считать удовлетворительными. Заметные расхождения имеют место только в области низких собственных частот колебаний f_1 . Некоторое улучшение совпадения расчетных кривых может быть достигнуто корректировкой условия (21а), т. е. изменением величины приведенной нагрузки.

На рис. 5 представлены кривые динамических коэффициентов $\eta = f(f_1)$ при трехфазном к. з. для параллельных шин, расположенных в одной пло-

скости при постоянных временах T_a , равных 0,05; 0,1 и 0,2 с. Графики η (рис. 5) являются огибающими кривых динамических коэффициентов средней кривины шин.

Приведенные исследования позволяют сделать следующие заключения.

С ростом податливости опор токопроводов с ростом массы изоляторов снижаются частотные собственные колебаний системы «шина — изоляторы» резонансные области при этом смещаются и деформируются. Путем варьирования жесткости опор можно, таким образом, воздействовать на режим колебаний, «отстраивать» токопроводы от резонансов.

Области параметров токопроводов, при которых возможны повышенные колебания, как во время коротких замыканий, так и в рабочем режиме, позволяют нецелесообразно из-за снижения в этих областях электродинамической стойкости и появления колебаний из-за снижения вибрационной активности токопроводов. Это оправдывает применение для расчетов уравнений (1) и (20), не учитывающих рассеяние энергии при колебаниях. Учет диссипативных сил заменяет на результаты расчетов лишь в резонансных областях.

Резонансные области, соответствующие высоким формам собственных колебаний, узки, здесь обусловлены параметрами частоты $r_1 = 4,73$. Затем по формуле (13) счисляем частоту собственных колебаний системы «шина — изоляторы» выше 25 Гц значения R_{pr} и σ_{pr} во всем исследованном диапазоне параметров $c_{\text{оп}}^2/EJ$ и M/ml при одинаковых собственных частотах практически соравниваются. Существенные отличия наблюдаются при низких значениях f_1 .

При частоте, большей 200—300 Гц, максимальные напряжения в шинах и нагрузки на изоляторы приблизительно равны напряжениям и нагрузкам, имеющим место при статическом нагружении и максимальными электродинамическими силами.

Если изоляторы обладают относительно высокой жесткостью ($c_{\text{оп}}^2/EJ > 15000$ —30000), что имеет место в распределительных устройствах напряжением до 35 кВ, расчет можно проводить с учетом податливости опор по методике, изложенной, например, в [Л. 3].

При расположении шин в одной плоскости симметричные нагрузки на изоляторы и напряжение в материале шин оказываются большими у средней фазы, если частота собственных колебаний токопровода больше 50 Гц, и большими у крайней фазы, если частота меньше 50 Гц.

При собственных частотах колебаний токопровода, близких к 50 Гц, динамические коэффициенты быстро растут с увеличением постоянной времени T_a .

Во всех проделанных расчетах при фазе замыкания, при которой электродинамические нагрузки достигают наибольшей величины, нагрузки на изоляторы и напряжения в шинах достигали значений, близких к максимуму. Отклонения составили более десяти процентов.

Пример расчета. Для экспериментальной конструкции кабеля с жесткой ошиновкой напряжением 110 кВ найдем максимальные нагрузки на изолятор и напряжение в материале шины.

Исходные данные. Шины кольцевого сечения расположены в одной плоскости; внешний диаметр шины $D = 30$ мм, внутренний $d = 20$ мм; модуль упругости материала шины $E = 7 \cdot 10^9$ Н/м²; погонная масса шины $m = 1,06$ кг/м; длина пролета $l = 7,65$ м; расстояния между осями соседних краин шин.

Жесткость опоры (включая изолятор, болтовые соединения и основание) $c_{\text{оп}} = 1960$ Н/мм; частота собственных колебаний опоры $f_{\text{оп}} = 58,9$ Гц. Действующее значение периода затухания апериодической составляющей тока к. з. $T_a = 0,095$ с.

Решение. В соответствии с выражением (9) определим предваренную массу изолятора:

$$M = \frac{c_{\text{оп}}}{(2\pi f_{\text{оп}})^2} = \frac{1960 \cdot 10^3}{(2\pi \cdot 58,9)^2} = 14,33 \text{ кг.}$$

Момент инерции и момент сопротивления поперечного сечения шины кольцевого сечения вычисляем по формулам:

$$J = \frac{\pi}{64} (D^4 - d^4) = \frac{\pi}{64} (3^4 - 2^4) 10^{-8} = 3,19 \cdot 10^{-8} \text{ м}^4;$$

$$W = \frac{\pi}{32} (D^3 - d^3) = \frac{\pi}{32} (3^3 - 2^3) 10^6 = 1,86 \cdot 10^{-6} \text{ м}^3.$$

Найдем параметры системы «шина — изоляторы»:

$$\frac{M}{ml} = \frac{14,33}{1,06 \cdot 7,65} = 1,77;$$

$$\frac{c_{\text{оп}}^2}{EJ} = \frac{1960 \cdot 10^3 \cdot 7,65^2}{7 \cdot 10^{10} \cdot 3,19 \cdot 10^{-8}} = 392962,6.$$

По кривым (2) для данных значений M/ml и $c_{\text{оп}}^2/EJ$ определим параметр частоты $r_1 = 4,73$. Затем по формуле (13) счислим частоту собственных колебаний системы «шина — изоляторы»:

$$f_1 = \frac{4,73^2}{2\pi \cdot 7,65^2} \sqrt{\frac{7 \cdot 10^{10} \cdot 3,19 \cdot 10^{-8}}{1,06}} = 2,79 \text{ Гц.}$$

Воспользуемся упрощенной методикой расчета на основе решения задачи о колебаниях системы с одной степенью свободы.

Для вычисленного значения частоты собственных колебаний и постоянной времени затухания апериодической составляющей тока к. з. $T_a = 0,095$ с по кривым (рис. 5) находим динамический коэффициент трехфазного к. з. $\eta = 1$.

Максимальную нагрузку на изолятор и напряжение в материале шины вычисляем по формуле (23):

$$R_{\text{max}} = \frac{2 \cdot 10^{-7} \cdot 7,65}{1} [\sqrt{2} \cdot 7,5 \cdot 10^3]^2 \cdot 1 = 172,1 \text{ Н;}$$

Анализ электромагнитных потерь при колебаниях напряжения в сетях промпредприятий

ЖЕЖЕЛЕНКО И. В., ЛИПСКИЙ А. М.

Ждановский металлургический институт

напряжения изучено, главным образом, применительно к особенностям зрительного восприятия человека; с этой точки зрения нормируются допустимые колебания напряжения в электрических сетях как в СССР, так и в США и ряде стран Западной Европы.

Указанный принцип нормирования обладает рядом существенных недостатков; отметим некоторые из них. Колебания напряжения отрицательно влияют на работу вычислительных машин, радиоэлектронной аппаратуры, систем автоматики и т. п.

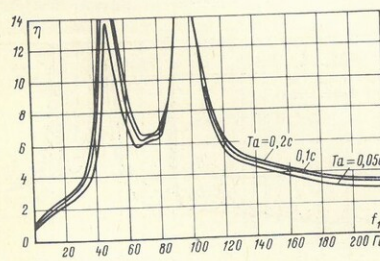


Рис. 5

$$\sigma_{\text{max}} = \frac{2 \cdot 10^{-7} \cdot 7,65^2}{12 \cdot 1 \cdot 1,86 \cdot 10^{-6}} [\sqrt{2} \cdot 7,5 \cdot 10^3]^2 \cdot 1 = 59 \cdot 10^6 \text{ Па} = 59 \text{ МПа.}$$

Для двухфазного к. з., при котором проводились экспериментальные исследования [Л. 8], динамический коэффициент равен $\eta = 1,2$, а расчетное максимальное напряжение в материале шины $\sigma_{\text{max}} = 70,8$ МПа. Экспериментально полученное значение максимального напряжения $\sigma = 64,5$ МПа. Следовательно, погрешность расчета составляет 9,75%. В то же время погрешность измерения составляла величину $\pm 10\%$.

Таким образом, предлагаемый метод расчета достаточно хорошо согласуется с экспериментальными данными (приведенными, например, в [Л. 8]), удобен для инженерных расчетов, может найти применение в проектной практике при расчете электродинамической стойкости токопроводов любых напряжений и не уступает в точности более громоздким расчетам, разработанным за рубежом.

СПИСОК ЛИТЕРАТУРЫ

1. Васильев А. А. Электрическая часть станций и подстанций. Ч. 1. М.—Л.: Госэнергоиздат, 1963, 495 с.
2. Palante G. Study and Conclusions from the Results of the Enquiry on the Thermal and Dynamic Effects of Heavy Short-Circuit Currents in High Voltage Substations. — «Electra» (France), 1970, № 12, p. 51—89.
3. Кудрявцев Е. П., Долин А. П., Васильев А. А. Методика расчета шин и опорных изоляторов распределительных устройств на напряжение до 35 кВ на электродинамическую стойкость. — «Промсвязьэнергетика», 1975, № 11, с. 36—39.
4. Романовский В. Б. Теория колебаний шин и изоляторов под действием электродинамических усилий. — В кн.: Высоковольтное аппаратостроение. ОНТИ НКТП СССР, 1935, с. 207—266.
5. Прочность, устойчивость, колебания. Справочник под ред. И. А. Биргера, Я. Г. Пановко. Т. 3. М., «Машгиз», 1968. 567 с.
6. Загоровский Е. Н., Стрелюк М. И. Электродинамические силы при произвольном расположении фаз шинопровода. — «Изв. вузов. Энергетика», 1965, № 12, с. 8—16.
7. Кудрявцев Е. П. К методике оценки электродинамической стойкости токопроводов. — «Труды МЭИ», 1975, вып. 274, с. 142—146.
8. Palante G. Behaviour Rigid Conductors and Their Supports under Short-Circuit Conditions Comparison of Calculated and Measured Values. International Conference on Large High Voltage Electric Systems. Session August 25—September 2, Study Committee № 23 (Substations), 1976, paper 23—10, II p.

[27.7.1976]

УДК 621.316.1.015.2.001.24

Р. А. ЛЮТЕР



10 декабря 1976 г. после тяжелой болезни скончался заслуженный деятель науки и техники РСФСР, лауреат Государственных премий, доктор технических наук, шеф-электротехник Ленинградского производственного электромашиностроительного объединения «Электроснай» имени С. М. Кирова Роберт Андреевич Люттер. Р. А. Люттер — один из основоположников советского электромашиностроения, с его именем связаны становление и развитие ЛПЭО «Электроснай» — ведущего предприятия по выпуску электрооборудования для многих отраслей промышленности Советского Союза и ряда зарубежных стран.

Еще в 1919 г. Р. А. Люттер впервые в практике отечественного энергомашиностроения провел расчеты гидрогенераторов для Волжской ГЭС, в то время крупнейших машин в Европе; эти машины по своим техническим данным оказались лучше генераторов, поставленных крупнейшей зарубежной фирмой.

Электромагнитные, тепловые, вентиционные расчеты многих крупных гидрогенераторов для электростанций, строящихся по плану ГОЭЛРО, велись лично Р. А. Люттером или под его непосредственным руководством. Это во многом способствовало досрочному осуществлению плана ГОЭЛРО и позволило отказаться от импорта энергетического оборудования.

В дальнейшем под руководством Р. А. Люттера были созданы серии турбогенераторов с непосредственным водородно-водяным охлаждением мощностью от 150 до 800 тыс. кВт и выше. Применение новой системы охлаждения машин этой серии позволило резко под-

нять их мощность в единице без существенного увеличения габаритов и массы. На этих же принципах изготовлен генератор мощностью 1 млн. 200 тыс. кВт.

Большая заслуга принадлежит Р. А. Люттеру в создании первого советского электропривода для блокингов Златоустовского и Криворожского металлургических заводов, а также ряда крупных машин постоянного и переменного тока для различных прокатных станов. «Электроснай» стала основным поставщиком электроприводов разных тип-

пов для металлургической, угольной, химической, судостроительной и других отраслей промышленности.

Р. А. Люттер — признанный глава советской теоретической школы крупного электромашиностроения. Литературное наследство Р. А. Люттера сравнительно невелико — оно охватывает немногим более полусотни статей в отечественных и периодических изданиях, но каждая статья в чрезвычайно скратленной форме дает исчерпывающее исследование рассматриваемого вопроса. Большинство печатных трудов Р. А. Люттера по справедливости следует считать классическими, не теряющими своей значимости и понине. Большой интерес представляют его труды по теории чисел.

Научные работы Р. А. Люттера легли в основу методики расчетов электрических машин, принятых не только проектными организациями Советского Союза, но и рядом ведущих фирм зарубежных стран.

Р. А. Люттер являлся воспитателем замечательной плеяды крупных ученых — специалистов — электромашиностроителей, среди которых пользовалась незыблемым авторитетом. Он активно участвовал в работе энергетической общественности, был одним из основателей научно-технического общества энергетиков, членом ряда учёных и научно-технических советов, научным редактором сборника «Электроснай», соавтором и редактором многих теоретических и научных трудов, руководителем и рецензентом диссертаций.

Память о Р. А. Люттере навсегда остается в наших сердцах.

Группа товарищей и учеников

РЕДАКЦИОННАЯ КОЛЛЕГИЯ:

Афанасьев В. В., Бертинов А. И., Будзко И. А., Веников В. А., Глебов И. А., Ефремов И. С., Иванов-Смоленский А. В., Ипатов П. М., Костенко М. В., Ларинов В. П., Лидоренко Н. С., Мамиконян Л. Г. (главный редактор), Миронов Э. А., Мучник Г. Ф., Нетушна А. В., Петров И. И. (зам. главного редактора), Рабинович С. И., Слежановский О. В., Соловьев С. А., Тареев Б. М., Толстов Ю. Г., Федосеев А. М., Шаталов А. С.

Научные редакторы: Б. Н. Евсеев (зам. редакторским отделом), Л. С. Кудинова, А. Б. Желдыбин

Адрес редакции: 103012, Москва, Б. Черкасский пер., 2/10. Телефон 294-24-80.
101000, Москва, Главный почтамт, абонентский ящик № 648

Адрес для телеграмм: Москва, 12, ЭЛЕКТРИЧЕСТВО

Технический редактор Н. Н. Хотулева

Сдано в набор 15/III 1977 г.
Усл. печ. л. 12,0

Подписано к печати 28/IV 1977 г.
Уч.-изд. л. 14,80

Тираж 9275 экз.
T-08280
Цена 80 коп.
Формат 60×90^{1/2}
Зак. 100

Издательство «Энергия», Москва, М-114, Шлюзовая наб., 10.
Московская типография № 10 Союзполиграфпрома при Государственном комитете Совета Министров СССР
по делам издательства, полиграфии и книжной торговли, Москва, М-114, Шлюзовая наб., 10.

Веников В. А., Солдаткина Л. А., Плотников Э. А. — Особенности прогнозирования при анализе развития электротехнических систем

Ирлахман М. Я., Рудаков А. И., Черняков В. Н., Шнель Р. В. — Принципы управления автоматизированной системой проектирования электросетевых объектов

Фархадзаде Э. М. — Расчет гарантированных оценок безаварийности энергосистем

Кудрявцев Е. П., Долин А. П. — Методика расчета электродинамической стойкости токоведущих напряжением 110 кВ и выше с учетом податливости опор

Жежеленко И. В., Липский А. М. — Анализ электромагнитных потерь при колебаниях напряжения в сетях промышленной частоты

Околович М. Н., Шигин А. Г., Федин В. А. — Автоматизированная система проектирования электроустановок собственных нужд блочных КЭС

Верещагин И. П., Литвинов В. Е., Васин В. И. — Сопоставление методов расчета электрических характеристик внешней области унипольного коронного разряда для систем с плоскопараллельным полем

Аксенов Ю. П., Левитов В. И., Ляпин А. Г. — Пробой сажего азота при криогенных температурах

Михайллов В. М. — Электромагнитные и тепловые процессы в проводниках при получении сильных импульсных магнитных полей

Шакиров М. А. — Расчет линейных электрических цепей по частям

Попов Д. А. — «Точные» якорные обмотки машин переменного тока

Жемчугов Г. А., Погосов А. А. — Полная система дифференциальных уравнений вентильного двигателя постоянного тока

Усушкин Е. И., Зельдин В. Ш. — Преобразование информации многоцелевого датчика для автоматизированных микроприводов

59

ИЗ ОПЫТА РАБОТЫ

Вольнов К. Д., Майкопар А. С. — Регистрация токов утечки по гириляндам изолиторов линий 110—220 кВ в районах с промышленными загрязнениями

65

Кокуркин Б. П. — Электрическая прочность внешней междуфазной изоляции трансформаторов при воздействии, имитирующем коммутационные перенапряжения

67

Таев И. С., Егоров Е. Г. — Измерение восстановляющейся прочности в электрических аппаратах

70

Шустерман М. Н. — Частотные характеристики индукторных вибраторов

72

СООБЩЕНИЯ

Лычкова Г. П. — О моделировании переходных процессов в цепях с иррациональными передаточными функциями

75

Кофман Д. Б. — Выбор оптимального отношения потерь в трансформаторах малой мощности

77

Багин В. В., Важов В. Ф., Сотников В. Г., Ушаков В. Я. — Исследование «времени жизни» полимерной изоляции при воздействии импульсного напряжения

79

Авруцкий В. А., Борисов Р. К., Прокоров Е. Н. — Влияние материала электродов на характеристики сильноточных разрядников

81

Моргунов В. Н. — Характеристики магнитоуправляемых контактов с возбуждением разряда в рабочем зазоре

83

ХРОНИКА

CONTENTS

Conversion of Information From a Multi-purpose Transducer for Automated Micro-Drives—E. I. Usishkin, V. S. Zel'din

59

FROM OPERATING EXPERIENCE

Recording Leakage Currents Over Insulator Strings on 110—220 kV Lines in Industrial Contaminated Atmospheres—K. D. Vol'gov, A. S. Maikopar

65

The Electrical Withstand Strength of the External Phases-to-Pulse Insulation of Transformers for Perturbances Simulating Switching Surges—B. P. Kokurkin

67

Measuring the Recovery Withstand Strength in Electrical Apparatus—I. S. Tayev, E. G. Egorov

70

Frequency Characteristics of Inductor Exciters—M. N. Shusterman

72

REPORTS

On Simulation of Transients in Circuits With Irrational Transfer Functions—G. P. Lichkina

75

Selecting the Optimum Relationship for Losses in Small Transformers—D. B. Kaufman

77

A Study of the «Life» of Polyethylene Insulation Subjected to Pulse Voltages—V. V. Bagin, V. F. Vadiov, V. G. Sotnikov, V. J. Ushakov

79

How the Electrode Material Influences the Characteristics of Power Arresters—V. A. Avruski, R. K. Borisov, E. N. Prokhorov

81

Characteristics of Magnetically Controlled Contacts With a Discharge Stimulated in the Working Gap—V. N. Murgunov

83

CHRONICLE

85

СЕБА—ДИНАТРОНИК
Д 8601 БАУНАХ ФРГ

Приглашаем посетить нашу экспозицию на выставке ЭЛЕКТРО-77 в Москве 9—23 июня 1977 г.

В состав наших экспонатов входят приборы, служащие для предварительного и точного определения поврежденных мест силовых кабелей и кабелей связи, и оборудование для высоковольтных испытаний.

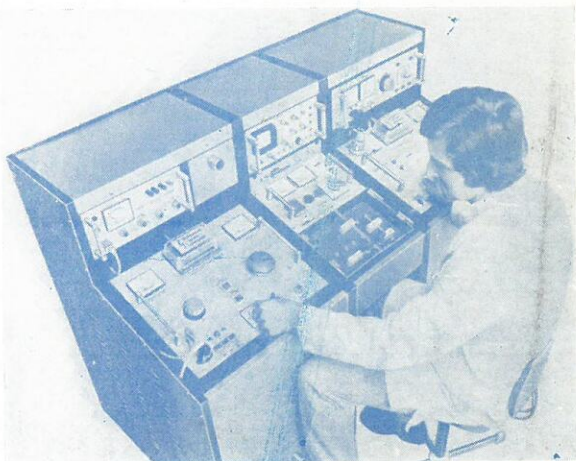
Наша производственная программа: генераторы звуковой частоты, импульсные волновые генераторы, приборы для прожигания мест повреждений кабеля, приборы для предварительного обнаружения дефектов в кабелях [радар] и источники испытательного напряжения до 350 кВ.

Нашим новейшим экспонатом является комплект приборов, вставленных в панели, которые легко монтируются в любом автофургоне.

Среди экспонатов — измерительный автофургон Даймлер — Бенз Л 508 Д, оборудованный источником испытательного напряжения до 140 кВ, который может быть дополнен комплексом элементов, обеспечивающих испытательное напряжение 260 или 350 кВ [два подобных измерительных автофургона с успехом работают в Мосэнерго].

Информация о приборах и установках содержится в проспектах на русском языке. Более подробную информацию можно получить у наших специалистов.

Местонахождение нашей экспозиции — перед главным входом в павильон ФРГ.



СЕБА — ДИНАТРОНИК
Д 8601 БАУНАХ ФРГ

Приобретение товаров у иностранных фирм осуществляется организациями и предприятиями в установленном порядке через МИНИСТЕРСТВА и ВЕДОМСТВА, в ведении которых они находятся.

Запросы на проспекты и каталоги следует направлять по адресу: 103074, Москва, пл. Ногина, 2/5. Отдел промышленных каталогов Государственной публичной научно-технической библиотеки СССР.

Ссылайтесь на № 3707—610/117/114

В О «Внешторгреклама»